

Física Computacional: Resolución problema 1, guía 2

Martín Famá

Fecha de entrega: 27/08/2020

1 Resumen

El modelo propuesto por Alan Turing para describir la *morfogénesis* consiste en las ecuaciones diferenciales 1 y 2:

$$\frac{\partial u}{\partial t} = \mu \frac{\partial^2 u}{\partial x^2} + g_1(u, v) \quad (1)$$

$$\frac{\partial v}{\partial t} = \nu \frac{\partial^2 v}{\partial x^2} + g_2(u, v) \quad (2)$$

En donde u y v representan concentraciones (por ejemplo, en el caso de la morfogénesis, pueden ser células de distintos colores que dan lugar a las manchas en los animales). Las funciones $g_1(u, v)$ y $g_2(u, v)$ describen la interacción entre las concentraciones:

$$g_1(u, v) = \frac{1}{32} (-7u^2 - 50uv + 57) \quad (3)$$

$$g_2(u, v) = \frac{1}{32} (7u^2 + 50uv - 2v + 57) \quad (4)$$

Se implementó un algoritmo utilizando el método FTCS (**f**orward-**t**ime, **c**enter-**s**pace) para simular la evolución del sistema en distintas condiciones.

2 Implementación del algoritmo FTCS

El método FTCS consiste en definir una grilla en el espacio y el tiempo. Se discretiza un intervalo en el espacio en pasos Δx y lo mismo con el tiempo en pasos Δt . En este caso, se utilizaron pasos fijos, aunque es posible usar pasos adaptativos. Para la evolución del sistema, el método consiste en tomar los siguientes pasos:

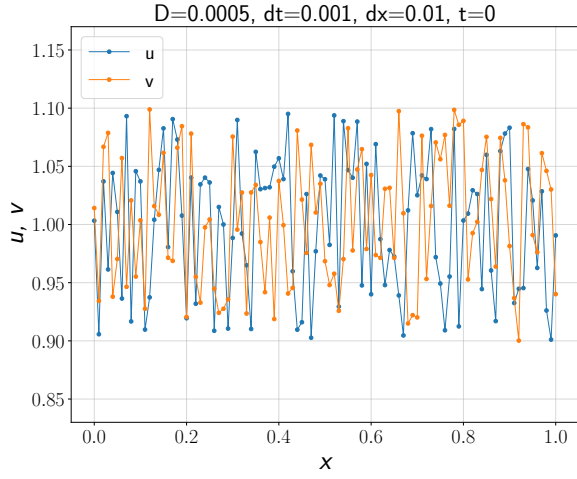
$$\begin{bmatrix} u_j^{n+1} \\ v_j^{n+1} \end{bmatrix} = \begin{bmatrix} u_j^n \\ v_j^n \end{bmatrix} + \frac{\Delta t}{\Delta x^2} \begin{bmatrix} \mu (u_{j+1}^n - 2u_j^n + u_{j-1}^n) \\ \nu (v_{j+1}^n - 2v_j^n + v_{j-1}^n) \end{bmatrix} + \Delta t \begin{bmatrix} g_1(u_j^n, v_j^n) \\ g_2(u_j^n, v_j^n) \end{bmatrix} \quad (5)$$

Las condiciones iniciales consistieron en darles a u y v valores aleatorios en $x \in [0, 1]$, usando el mapeo:

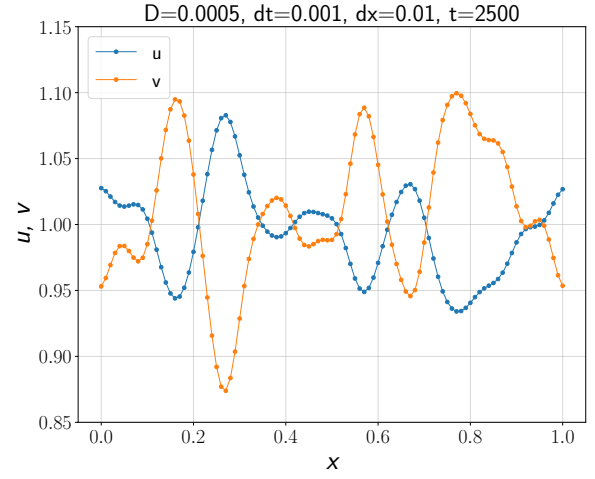
$$u(x, 0) = 1 + 0.1(2r - 1) \quad (6)$$

$$v(x, 0) = 1 + 0.1(2r - 1) \quad (7)$$

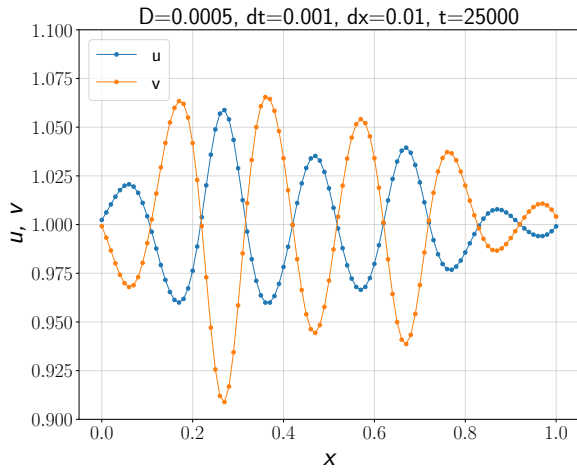
En donde r es un numero aleatorio tomado de una distribución uniforme en el intervalo $[0, 1]$. Además, se consideraron sistemas con $\mu = D$, $\nu = D/2$ para D un número real. Se hicieron pruebas para $D = 0.01, 0.0025, 0.0015, 0.00075$ y 0.0005 . En todos los casos, se tomo un grilla en donde $\Delta x = 0.01$, y $\Delta t = 0.001$.



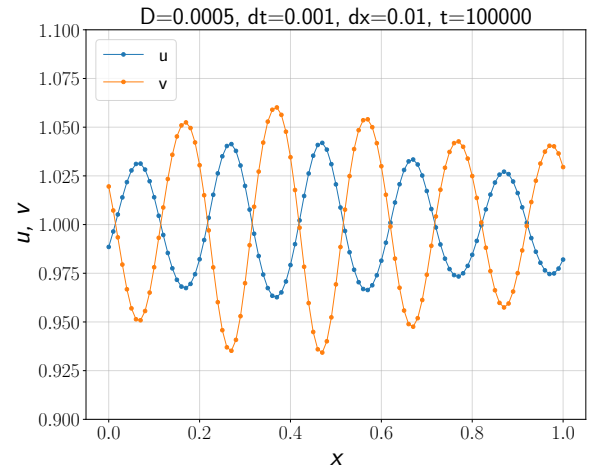
(a)



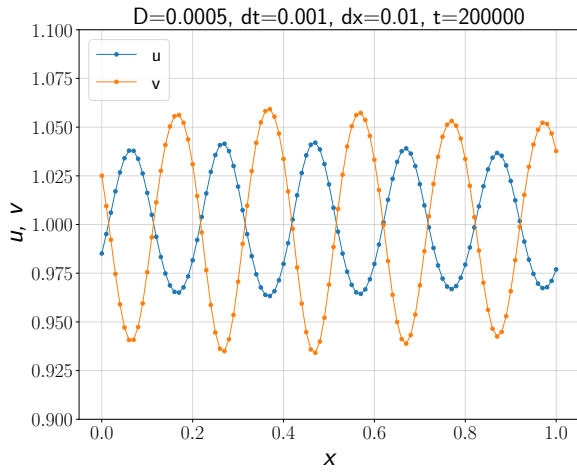
(b)



(c)

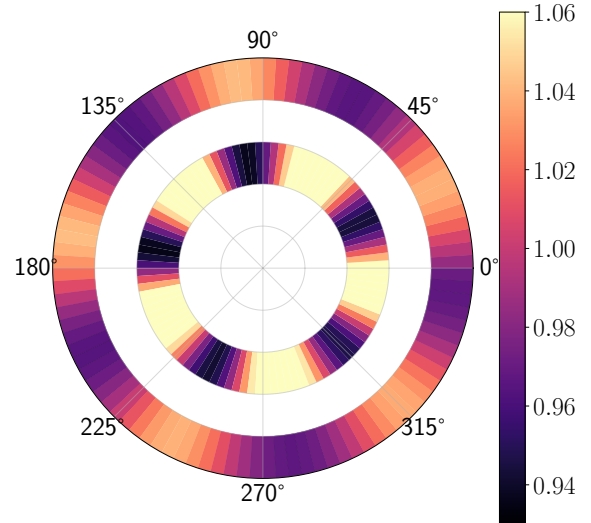


(d)



(e)

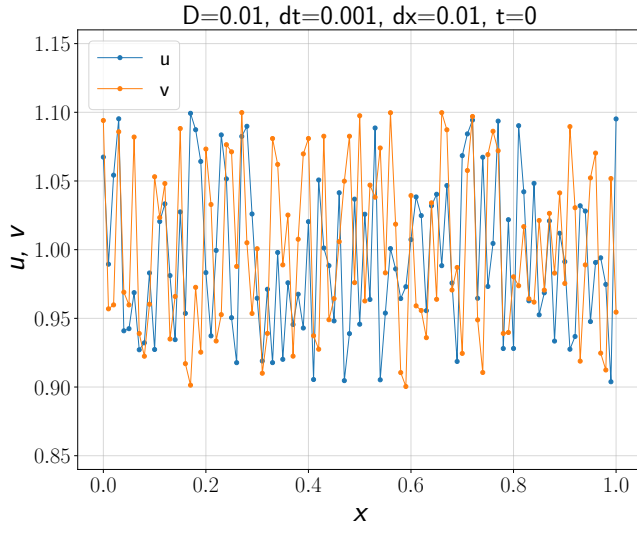
$D=0.0005$, $dt=0.001$, $dx=0.01$, $t=200000$



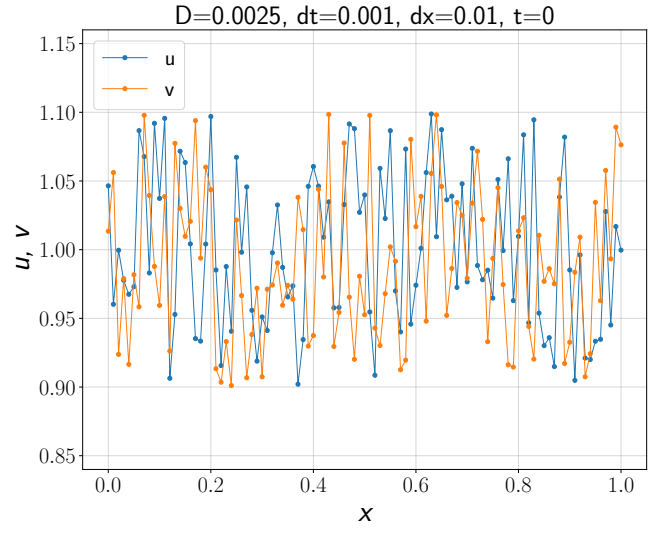
(f) Anillo interno: $u(x, t_f)$, Anillo externo: $v(x, t_f)$

Fig. 1: Evolución del sistema con $D = 0.0005$.

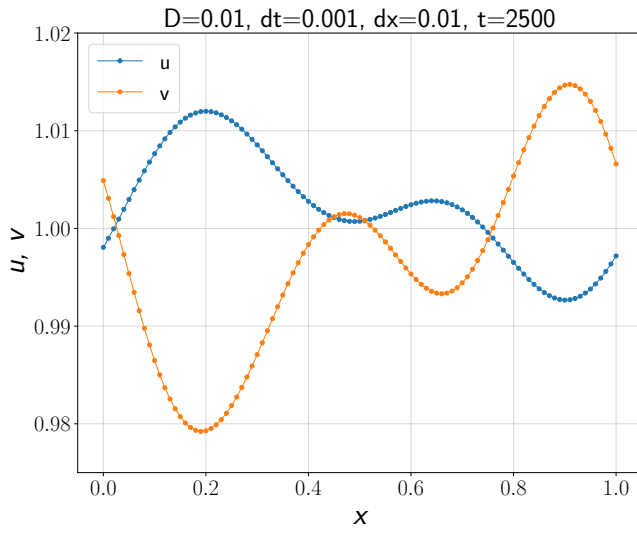
En la figura 1 se puede ver la evolución del sistema en donde $D = 0.0005$. Vemos que el equilibrio es un modo con número de onda $1/5$. En la figura 1f se puede ver un poco más estético este equilibrio. Notamos que a u y v están desfasadas en 180° . Además, sus amplitudes no coinciden. En otros casos, se encontró que ocurre algo similar, y la amplitud final de cada onda es consecuencia de las condiciones iniciales aleatorias.



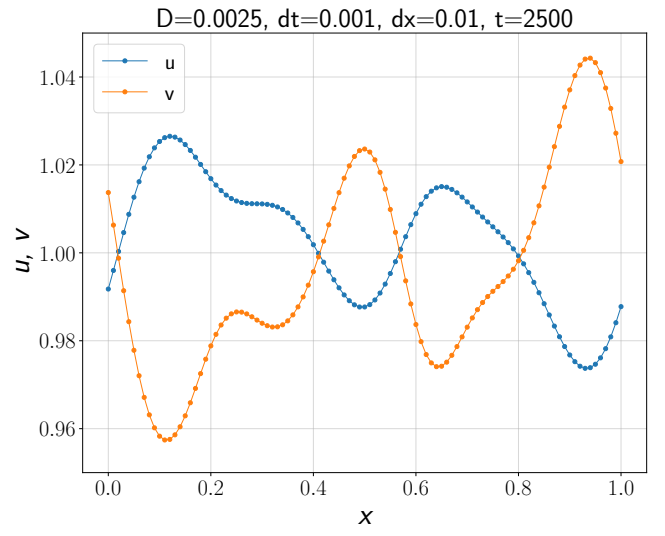
(a)



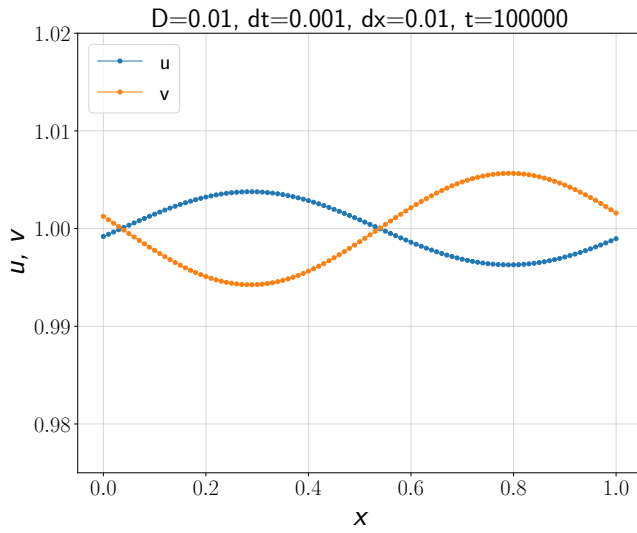
(b)



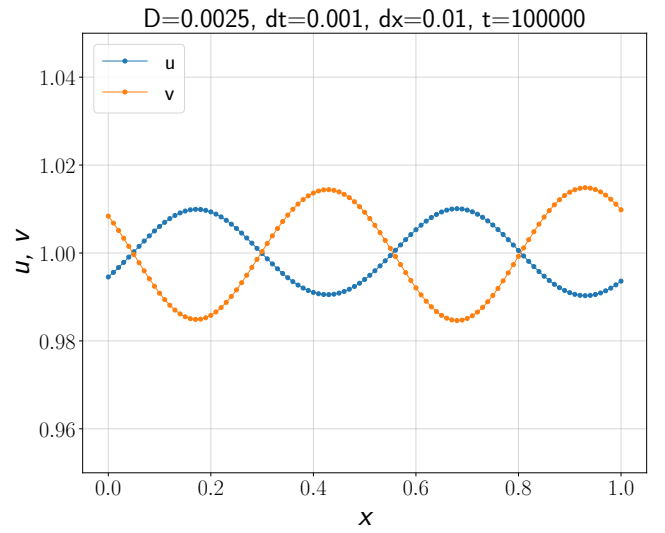
(c)



(d)

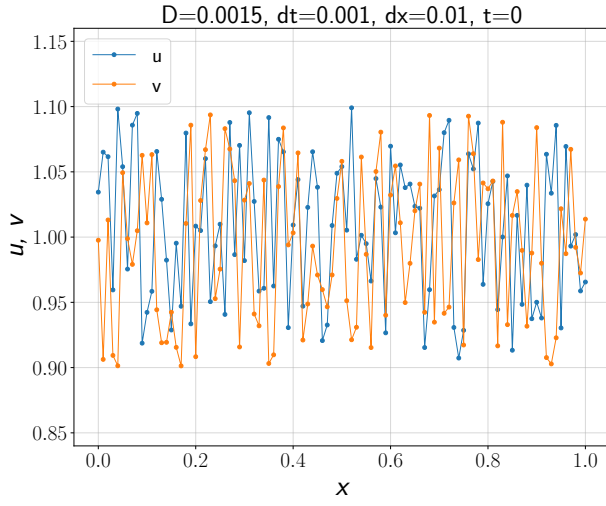


(e)

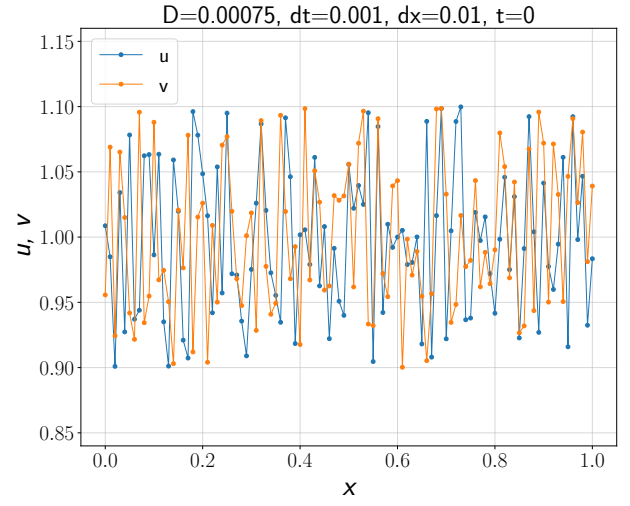


(f)

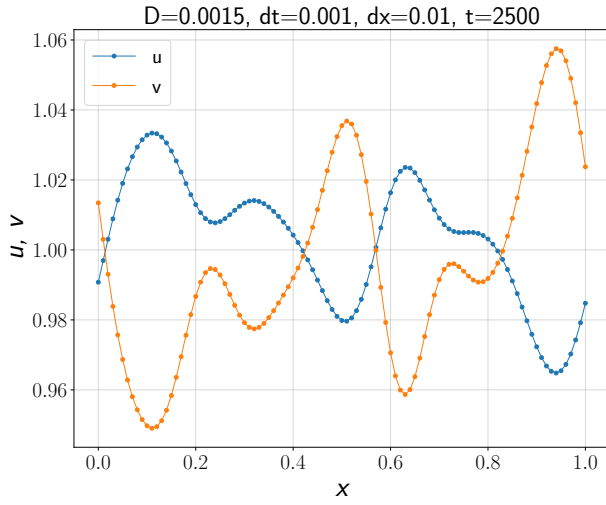
Fig. 2: Primera columna: $D = 0.01$, Segunda columna: $D = 0.0025$



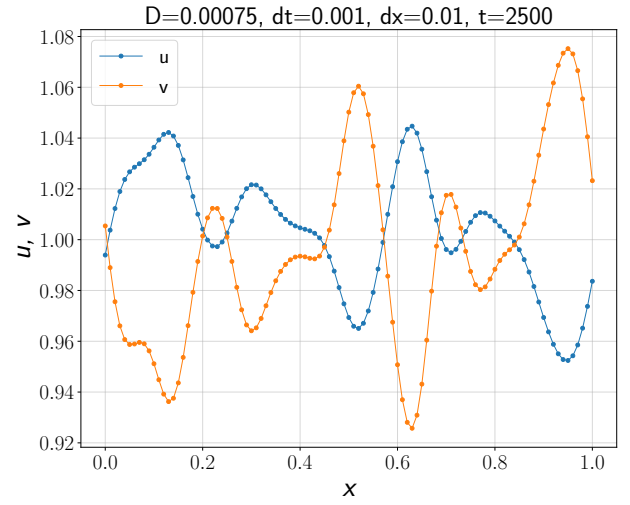
(a)



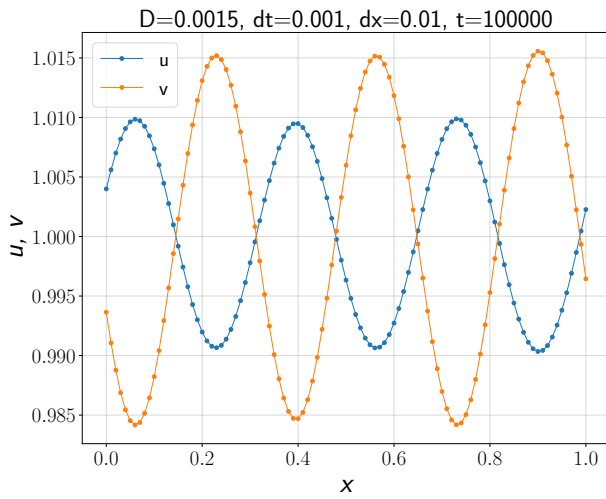
(b)



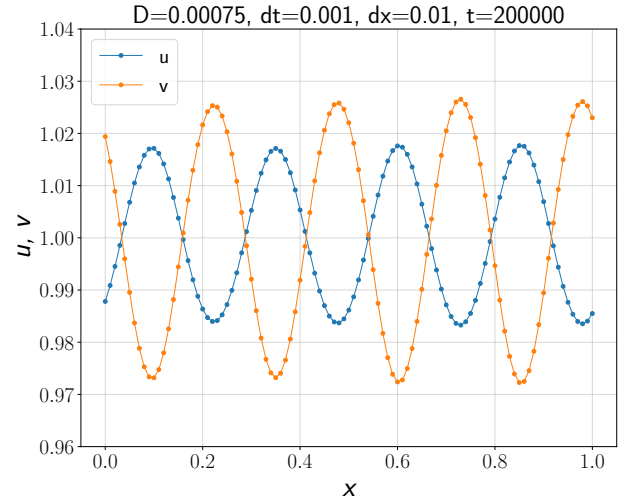
(c)



(d)



(e)

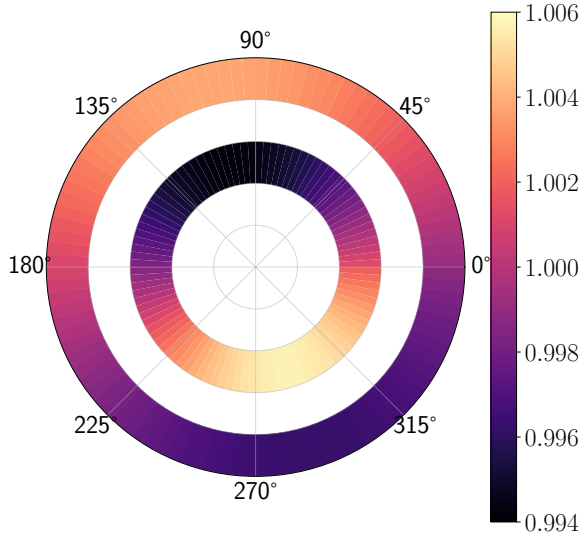


(f)

Fig. 3: Primera columna: $D = 0.0015$, Segunda columna: $D = 0.00075$

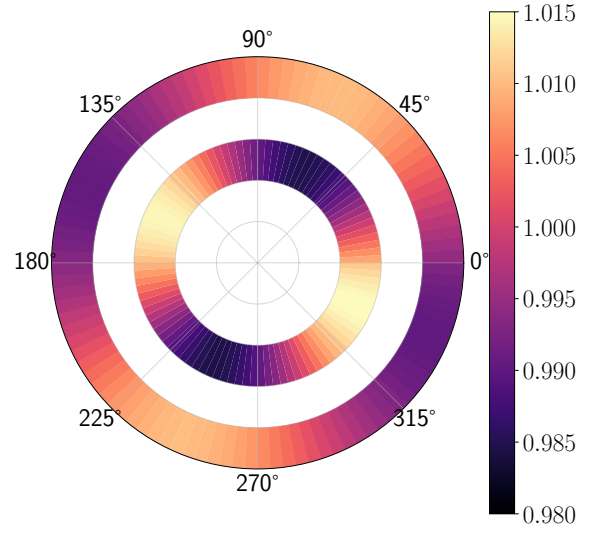
En la figura 3, notamos que para $D = 0.00075$, se usó un tiempo final de $t_f = 200000$ iteraciones (como con $D = 0.0005$). Se notó que para D más chico, se requerían más iteraciones para la convergencia.

$D=0.01$, $dt=0.001$, $dx=0.01$, $t=100000$



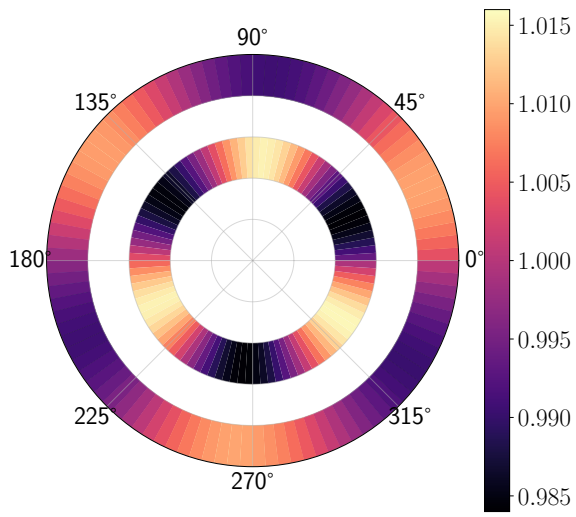
(a)

$D=0.0025$, $dt=0.001$, $dx=0.01$, $t=100000$



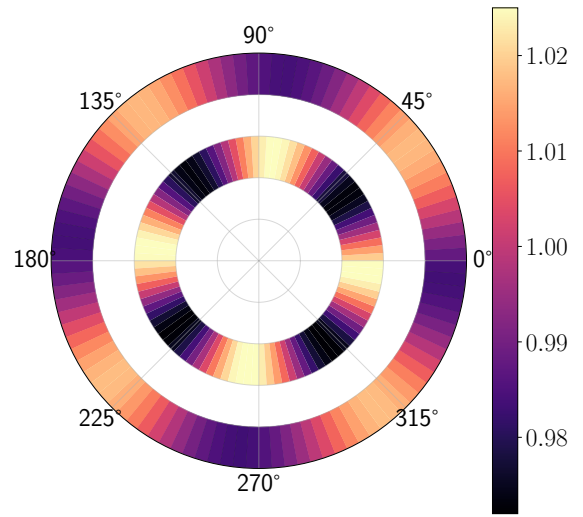
(b)

$D=0.0015$, $dt=0.001$, $dx=0.01$, $t=100000$



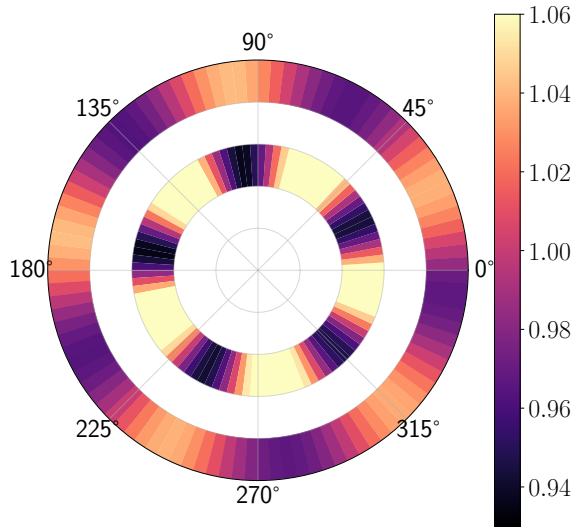
(c)

$D=0.00075$, $dt=0.001$, $dx=0.01$, $t=200000$



(d)

$D=0.0005$, $dt=0.001$, $dx=0.01$, $t=200000$



(e)

Fig. 4: Estados finales para cada D . Dan números de onda sucesivos (entre 1 y 1/5).